

Flameless errekuntzak klima aldaketaren aurka

(*Flameless combustion against climate change*)

Naiara Romero-Anton*, Koldobika Martin-Eskudero,
Luis Alfonso del-Portillo-Valdés

Ingenieritza Energetikoa Saila. Bilboko Ingeniaritza Eskola (UPV/EHU)

LABURPENA: Gaur egun klima aldaketaren inguruan daukagun egoera hobetzeko, energia kontsumoa murriztu behar da eta teknologia eraginkorrik eta emisiorik gabekoak suspetu behar dira. Nahiz eta energia berriztagarrien alde apustu egin, gaur egungo datuen arabera, bai gaur egun zein etorkizunean erregai fosilen kontsumoa energia primarioa izango da. Egoera honen aurrean erregai fosiletan oinarritzen diren teknologiei buruz ikerkuntzak egitea beharrezkoa da, teknologia berderantz bideratzeko. Klima aldaketari aurre egiteko *flameless* errekuntza garatu da. *Flameless* errekuntza produktuen aerodinamikan oinarritzen da, eta horiek birzikulatuz erreaktiboa diluitu egiten dira. Horri esker O₂-aren kontzentrazioa murrizten da labeko gar temperatura murriztuz. NO_x gasen emisioak temperaturarekin erlazionatua daudenez, labe temperatura murriztean, NO_x emisioak murrizten dira. Gainera, produktuen birzikulazioaren bitartez errektiboa aurreberotzen badira, energia eraginkortasuna hobetzen da. Teknologia berri horrek aplikazio zuena izan dezake temperatura altuko labe eta galddarente; adibidez, potentzia termikoko instalazioetan, findegian, industria kimikoan, keramika, beira, cementu eta altzairu lantegietan, NO_x emisioak eta energia kontsumoa murriztuz. *Flameless* teknologia hobeto ulertzeko helburuarekin ikertzaileak Fluido Dinamika Konputacionala (FDK)-ren bitarte esperimientuak eta simulazioak egiten ari dira. FDK programan dauden modeloezin ohiko errekuntzaren ezagarrriak zehaztasunez simula daitezke (bero transferentzia, jariakin mekanika, erradiazio termikoa, erreakzio kimikoak eta turbulentzia-kimika interakzioa), baina ez *flameless* errekuntza, errektiboen diluzioa kontuan hartzen ez delako. Hori dela eta beste modelo berri batzuk garatu behar dira.

HITZ GAKOAK: *Flameless* errekuntza, NO_x emisioak, eraginkortasun energetikoa, klima aldaketa.

ABSTRACT: In order to improve nowadays climate change situation, energy consumption must be reduced and efficient and no-pollution technologies should be promoted. Although huge effort is made toward renewable energy technologies, according to nowadays data, today and in the near future fossil fuels consumption will be the primary source energy. Due to that, it is necessary to research in fossil fuel technologies in order to be more climate friendly. Flameless combustion was developed against climate change. Flameless combustion is based on the aerodynamic recirculation of flue gas, which diluted reactants. The dilution effect reduces O₂ concentration and consequently furnace temperature is reduced. NO_x emissions are directly related with furnace temperature, so that, once furnace temperature is reduced NO_x emissions go down. Additionally, reactants can be preheated by recirculated product increasing energy efficiency. This new technology has a direct application in high temperature furnaces as well as in boilers; as example, thermal power plants, refineries, chemical industry, ceramic, glass, cement and steel factories, reducing NOx emissions and energy consumption. In order to understand better flameless combustion researches are working on experimental set-ups as well as on Computational Fluids Dynamics (CFD) modelling. The CFD's models simulate accurately conventional combustions characteristics; heat transfer, fluids dynamics, thermal radiation, chemical reactions and turbulence-chemistry interaction, but not flameless combustion as reactant dilution is not considered. Consequently, new models must be developed for better simulation of flameless combustion.

KEYWORDS: Flameless combustion, NO_x emissions, energy efficiency, climate change.

* **Harremanetan jartzeko / Corresponding author:** Naiara Romero-Anton. Ingenieritza Energetikoa Saila. Bilboko Ingenieritza Eskola, UPV/EHU, Ingeniero Torres Quevedo Enparantza, 1 (48013 Bilbo-Bizkaia, Euskal Herria). – naiara.romero@ehu.eus – <https://orcid.org/0000-0001-5044-6391>.

Nola aipatu / How to cite: Romero-Anton, Naiara; Martin-Eskudero, Koldobika; Del-Portillo-Valdés, Luis Alfonso (2021). «*Flameless* errekuntzak klima aldaketaren aurka»; *Ekaia*, 39, 2021, 299-311. (<https://doi.org/10.1387/ekaia.21753>).

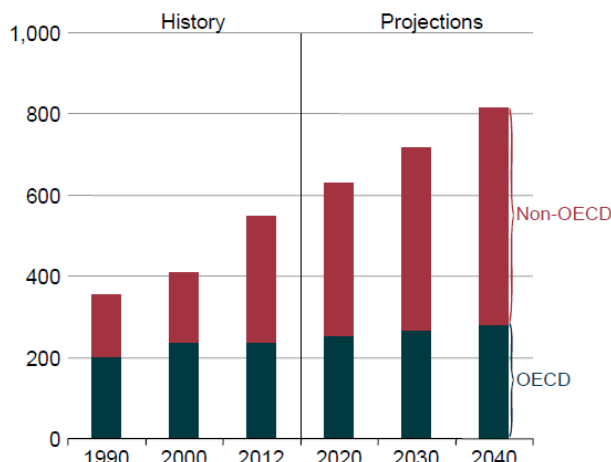
Jasoa: 2020, maiatzak 25; Onartua: 2020, irailak 22.

ISSN 0214-9001 - eISSN 2444-3255 / © 2021 UPV/EHU

 Obra hau Creative Commons Atribución 4.0 Internacional-en lizenziatzen dago

1. SARRERA

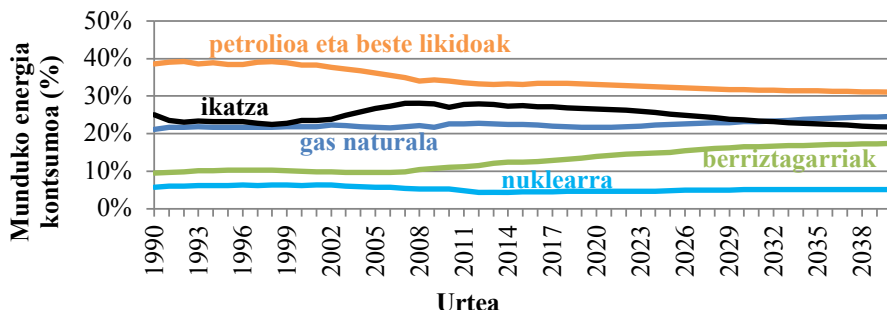
Gaur egungo gizartea energiaren kontsumoaaz jabetzen ari da, baina orain dela 20 urte, gizartearen kezka hauxe zen: zelan lor dezakegu energia gehiago lurzorutik? Gaur egun egoera aldatu egin da, eta gizartearen kezka beste hau da: zelan lortu energia inguruneko poluzioa minimizatuz? Nahiz eta gizartek ahaleginak egin energiaren kontsumoa gutxitzeko, Energia Departamendua (ED) argitaratutako datuen arabera, 2012-2040 urte bitartean, energiaren kontsumoa % 48 handituko da [1] Ekonomia Lankidetza eta Garapenerako Erakundean (ELGE) parte hartzen ez duten herrialdeengatik («Non-OECD» deituak), hala nola Indiagatik eta Txinagatik (1. irudia).



1. irudia. Munduko energiaren kontsumoa 1990-2040 (kuatriloi BTU). ARG.: EIA [1].

Energiaren eskaria hornitzeko erabiltzen den energia iturria aztertzean, ikus daiteke, bai gaur egun eta bai etorkizunean, energiaren kontsumo gehiena erregai fosilen errekuntzaz hornitzen dela eta hornituko dela [2]. Hurrengo irudian, munduko energiaren kontsumoa vs energia iturria ehu-nekotan ikus daiteke.

Gaur egun energia berriztagarrien alde apustua egin bada ere, 2. irudian antzeman daitekeen moduan, energiaren eskaera instalazio berrien kapazitatea baino arinago handitzen ari da, eta 2040. urterako energia berriztagarrien hornikuntza % 4 soilik handitza espero da, kontsumo totalaren % 23 izanda. Bestalde, datuen arabera, petrolioaren kontsumoa ia konstante mantenduko da, ikatzaren kontsumoa % 3 murriztuko delarik (ondo dagokiona CO₂ emisioetarako); gas naturalaren kontsumoa, ordea, % 2 handituko da, eta energia nuklearren kontsumoa konstante mantenduko da [2].



2. irudia. Munduko energiaren kontsumoa ehunekotan energia iturriaren arabera. ARG.: Propioa. Datuak EIA [2].

Azkenik, ondoriozta daiteke munduan kontsumitzen den energiaren % 80 baino gehiago erregai fosilen errekuntzatik datorrela; beraz, esan daiteke energia iturri primarioa dela. Erregai fosilek sorturiko berotegi-efektuko gasak murrizteko, garrantzi handikoa da errekuntza sistemuen erginkortasuna handitzea [3], eta horretarako errekuntza teknika berrien inguruan ikertu behar da.

2. ERREKUNTZA EMISIOAK MURRIZTEKO TEKNOLOGIAK

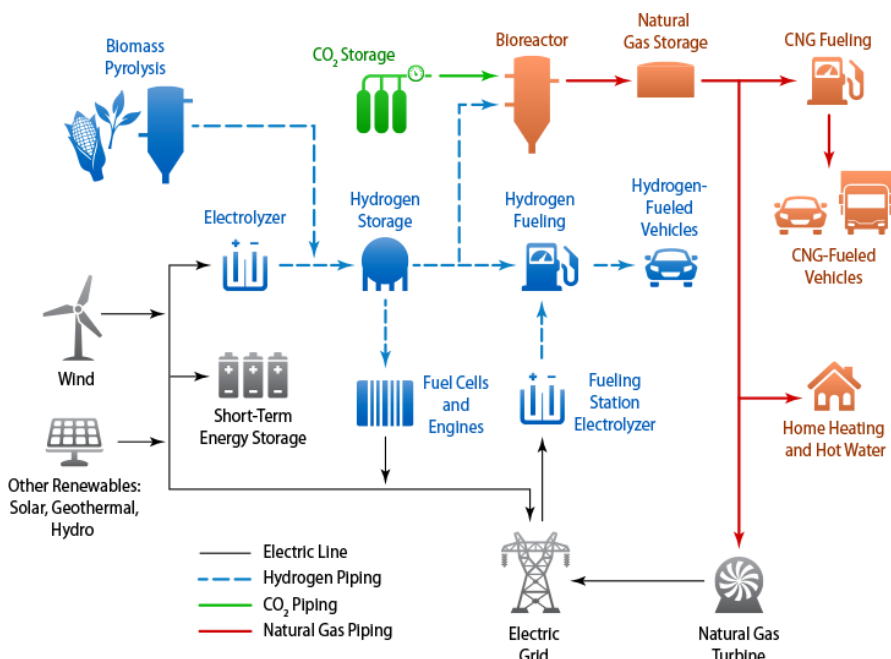
Errekuntzaren inguruko ikerkuntza orain dela urte asko hasi zen, gizartearen teknologia zaharrenetako bat baita. Gaur egun, errekuntza maiz erabiltzen da energia primarioa transformatzeko beste energia mota batzuk lortzeko, eta arlo askotan erabiltzen da, esaterako, mugikortasunean eta garaioetan, elektrizitatearen ekoizpenean, enpresetan eta etxeetan.

Errekuntzan askatutako beroak prozesu zaila eta berezia egiten du. Zer-gatik? Beroa askatu ahala temperatura igotzen delako erreaktio abiadura handituz, prozesu ez-lineal bat sortuz. Errekuntzak fluidoen mekanika eta kimika konbinatzen ditu; beraz, fenomeno multifisikoa eta multieskalakoa da. Multifisikoa da, arlo desberdiniek parte hartzen dutelako (esaterako, kimika, erradiazio termikoa, fluidoen mekanika eta akustika), eta multieskalakoa da, nahasketaren denbora eskala (τ_t) eta kimikaren denbora eskala (τ_c) kontuan hartz behar direlako. Hori dela eta, errekuntzaren kalkuluak sinplifikatzeko, dimentsiorik gabeko zenbaki berriak garatu dira; adibidez, Damköler (Da) zenbakia eta Karlovitz (Ka) zenbakia.

Errekuntzaren produktuek inpaktua dute airearen kutsaduran (CO_2 , SO_2 , NO_2 , O_3 , partikulak) eta berotegi efektuan (CO_2 , CH_4 , N_2O , halokarbonoak). Fourierrek, 1824. urtean, lehenengo aldiz proposatu zuen atmosferako gasak zirela lurreko tenperaturaren goratzearen eragileak. Geroago,

1896. urtean, estimatu zen CO₂ emisioak bikoiztearen ondorioz Lurraren temperatura 5-6 °C igoko zela [4], gaur egun gertatzen den bezala. Baina 1997. urterako arte itxaron behar izan zen Europar Batasunak (EB) emisioak kontrolatzeko araudiak lantzeko. Kyotoko Protokoloa 1997. urtean sinatu zen, baina 2005. urterako arte ez zen indarrean ipini. Geroago, 2015eko Parisko Hitzarmenean, Kyotoko Protokoloa indarrean mantentzea erabaki zen, klima aldaketaren mugak mantenduz.

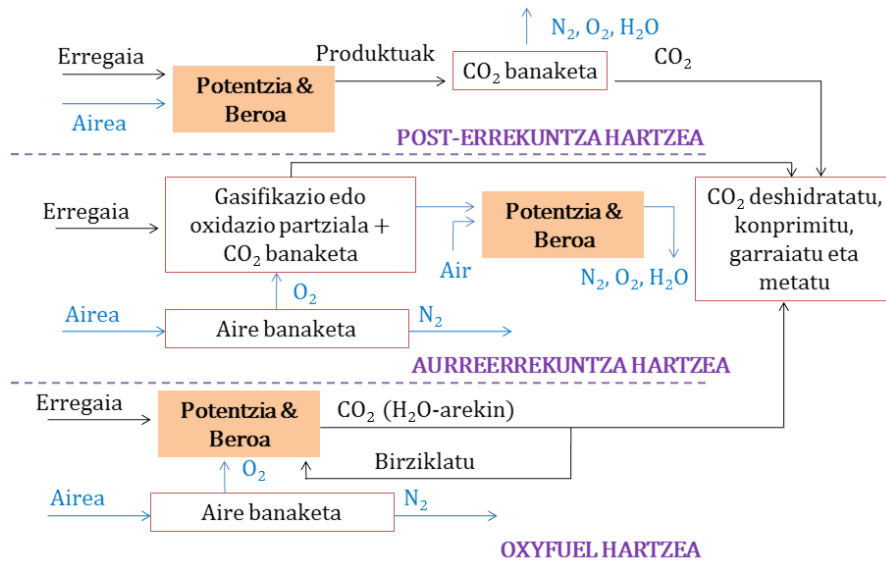
Klima aldaketa murrizteko helburuarekin teknologia desberdinak ikerzen ari dira. Horietako bat hidrogeno ekonomian oinarritzen da; hau da, hidrogenoak ordezko erregaiaren rola hartzen du garraio sektorean eta etxebizitzetan [4] [5] [6]. Hidrogenoa ere erabiltzen da energia berriztagarrietatik sortutako elektrizitatea metatu eta garraiatzeko, hidrogenoaren elektrolisiaren bitartez eta Liquid Organic Hydrogen Carriers (LOHC) izeneko metodoaren bitartez. Adibide moduan 3. irudian hidrogeno ekonomiaren eskema bat erakusten da.



3. irudia. Hidrogeno ekonomiaren eskema. ARG.: NREL [7].

Carbon Capture and Storage (CCS) beste teknologia bat da berotegi efektuko gasak murrizteko (4. irudia) eta hiru eratan aplika daiteke: post-errekekuntzaren hartza (iragazketa hezeaz) [8], aurrerekuntzaren hartza

(Singas izeneko nahasketa baten bitartez) [9] eta oxyfuelaren hartzea (nitrogenorik gabeko errekuntza) [10].



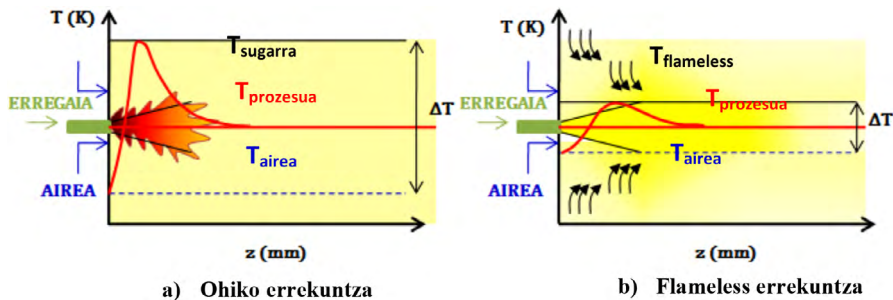
4. irudia. CO₂-aren metaketako teknologia nagusiak. ARG.: Propioa.

Bioerregaiak erabiltzea, bioetanola eta biodiesela nagusiki, beste aukera bat da erregai fosilak ordezkatzen klima errespetatuz. Dena den, bioerregaiak azukretik, almidoitik eta landare olioetatik ekoizten dira, baserri lurrik okupatuz eta ura eta lurzorua zeharka kutsatz, ongarri eta pestiziden bitartez. Bestalde, ikertzaile batzuek ondorioztatu dute bioerregaien kostua ohiko erregaiena baino altuagoa dela [11]. Hala ere, ikerkuntzak egiten ari dira bioerregaiak barne-errekuntzako motorretan erabiltzeko [12].

Bukatzeko, berotegi efektuko gasen emisioa murrizteko azken aukera errekuntza-eraginkortasuna hobetzea da [13]. Errekuntza-eraginkortasuna handitzeak erregaiaren kontsumoa murritzen du, eta horrekin batera CO₂ eta NO_x gasen emisioak ere bai. Hori dela eta, errekuntza teknologia berrien garapena beharrezkoa da. Ildo horretan, Injekzio Pobre Zuzena (IPZ) ikertzen ari da hegazkineko turbinetan [14], autoen sektorean Karga Homogeneoko Konpresio Piztea (KHKP) [15], Gasifikazio Integratuko Ziklo Konbinatuetan (GIZK) oxy-coal errekuntza (oxyfuelen kasu bat) [16], eta *flameless* izeneko errekuntza [17]. *Flameless* errekuntza berotegi efektuko gasak murritzen dituen teknologia oso interesgarria da, errekuntza-eraginkortasuna hobetzeaz gainera NO_x emisioak murritzen dituelako.

3. FLAMELESS ERREKUNTZA

Flameless errekuntza labe barruko produktuen birzikulazioaren aerodinamikan oinarritzen da. Errekuntza horretan erregai eta aire lasterrak diluitu egiten dira birzikulatutako produktuen bitartez. Horren ondorioz, erreaktiboen kontzentrazioa (O_2 -arena batez ere) murritzten da, eta, beraz, errekarri-abiadurak murritzten dira, errekuntza-ganberaren temperatura altuko eremuak saihestuz eta gar temperatura murritzuz (ohiko errekuntzarekin konparatuta). NO_x eraketaren tasa temperatura altuetan handitzen da. Beraz, NO_x emisioak mugatu daitezke temperatura baxuari eutsiz. Flameless errekuntzan gar temperatura ohiko errekuntzan baino baxuagoa denez, NO_x gasen emisioak murritzten dira teknologia horren bitartez. Aldi berean, birzikulatutako produktuak erabiltzen dira erreaktiboa aurreberotzeko. Hori dela eta, bi hobekuntza lortzen dira ohiko errekuntzarekin alderatuta; (1) errekuntza-eraginkortasuna hobetzen da (aurreberoketari esker), eta (2) NO_x emisioak murritzten dira, errekuntzan askatzen den beroaz birzikulatutako produktuak berotzen dira disipadore termikoaren papera hartuz. Ondorioz, gar temperatura murritzten da, eta zuzenean NO_x emisioak ere murritzten dira. Aldi berean, errekuntza-eraginkortasuna hobetzean, erregaiaren kontsumoa murritzten da, eta, alde horretatik, NO_x eta CO_2 gasen emisioak ere murriztea lortzen da. Flameless eta ohiko errekuntzen arteko aldeak azpimarratzeko, 5. irudian gar temperatura eta erreaktiboen temperaturak adierazi dira.



5. irudia. Ohiko errekuntzaren eta *flameless* errekuntzaren temperatura banaketa. ARG.: Propioa.

Ohiko errekuntzan temperatura banaketan gailur bat agertzen da. Aldiz, *flameless* errekuntzan gailurra askoz ahulagoa da. Ohiko errekuntzan gaineraren muga nabaria da; *flameless* errekuntzan, berriz, ez dago; hori dela eta, garrik gabeko errekuntza horri *flameless* izena eman zaio. *Flameless* errekuntzan, 5. irudian, birzikulazioa eta airearen aurreberoketa nabaritzen dira. Laburpen moduan hurrengo taulan *flameless* eta ohiko errekuntzen ezaugarriak agertzen dira.

1. taula. Ohiko eta *flameless* errekuntzen arteko konparaketa. ARG.: Propioa.

Ezaugarriak	Ohiko errekuntza	<i>Flameless</i> errekuntza
Gar temperatura	Altua (gar temperatura adiabatikotik hurbil)	baxuagoa $\approx 1500\text{K}$
Tenperatura banaketa uniformea	✗	✓
Errekuntza produktuen birzikulazioa	✗	✓
Turbulentzia intentsitatea eta zinetika	↔	↑↑
Gar ikusgaia	✓	✗
Gar egonkorra	↔	↑↑
Diluitutako erreaktiboak	✗	✓
Aurreberotutako erreaktiboak	✗	✓
O ₂ kontzentrazioa	↑↑	↔
Soinu-intentsitatea	↑↑	↔
NO _x emisioak	↑↑	↔
Eraginkortasuna	↔	↑↑

Taula aztertu ondoren ondoriozta daiteke *flameless* errekuntzak: (1) tenperatura banaketa uniformea duela labaren baitan, (2) gar egonkorragoa duela, (3) soinu-intentsitatea murrizten duela, (4) NO_x emisioak murrizten dituela eta, bukatzeko, (5) eraginkortasun energetikoa hobetzen duela.

4. FLAMELESS ERREKUNTZAREN APLIKAZIOAK

Ez dago zalantzak *flameless* errekuntza teknologia eraginkorra dela eta ingurumena errespetatzen duela. Beraz, interesa handia dauka industria aplikazioetan, adibidez, potentzia termiko instalazio, findegia, industria kimiko, zeramika, beira, zementu eta altzairu lantegietan. Aplikazio horietan energia altuko errekuntzak izaten dira, non energia aurrezpenak eta emisio murriketak lor baitaitezke *flameless* errekuntza aplikatuz gero.

Flameless errekuntza tenperatura altuko labeanetan ikertzen hasi zen Japonian, 1990. urtean, NO_x emisioak murrizteko helburuarekin [18]. Geroago, Alemanian, *Flameless Oxidation* (FLOX) erregailuak aztertu ziren [17]. *Flameless* errekuntza tamaina handiko labeanetan aplikatzen denean, errekuntza gasak edo produktuak erreaktiboak berotzeko erabili behar dira (autosutze tenperaturaren gainetik). Horri esker energia eraginkortasuna handitzea eta erregaiak aurreztea lortzen dira. Aldi berean, erreaktiboak diluitzen direnez (O₂ maila <% 15) gar temperatura baxuagoa lortzen da (eta NO_x emisioak murritzutu). Ikerkuntzetatik ere ondorioztatu zen, tenperatura banaketa homogenoa lortzen dela labaren barruan. Kulamar *et al.* [19] es-

perimentuek erakutsi zuten *flameless* errekontzako tenperatura aldaketa % 15 dela, ohiko errekontzako tenperatura aldaketa % 50 izanik. Bestalde, errektiboak aurreberotuta daudenez, errekontzak egonkortasun hobea era-kusten du, eta horri esker abiadura handiagoko errektibo lasterrak erabil daitezke. Ezaugarri horiek bero transferentzia uniforme eta zabalagoa sus-pertzen dute, energia aurreztekko aukerekin. Adibide moduan, Wünning & Wünning [17] ikertzaileek simulazioak egin zituzten, hiru errekontza sis-temetan, Fluidoen Dinamika Konputazionala (FDK) erabiliz, 160 kW ter-miko (kW_{th}) lortzeko asmoz. Lehenengo errekontza sistema aire aurrebe-roketarik gabeko erregailua izan zen, beharrezko potentzia 400 kW zelarik. Bigarren sistemak beroa berreskuratzeko sistema bat erabiltzen zuen, airea 600 °C-an aurreberotzeko. Kasu horretan beharrezko potentzia 245 kW zen (baina NO_x emisioak handitzen ziren errektiboak diluitzen ez zirelako eta labeko tenperatura handitzen zelako). Bukatzeko, FLOX sistema bat (*flameless* erregailua) modelatu zen, non airea 950 °C-ra aurreberotzen zen. Erregailuak 200 kW kontsumitzen zituen, eta aurreko kasuekin konparatuz erregaa aurreztu eta NO_x emisioak murrizten ziren, aplikazio honetan errektiboak diluitzen direlako. Azken kasu horretan aurreberogailu bat erabili izan balitz, airea 950 °C-ra aurreberotzeko errendimendu energetiko berdina lortuko zen. Hala ere, labeko tenperatura handituko zenez, NO_x emisioak handituko ziren (*flameless* erregailuak NO_x emisioak murrizten ditu). *Flameless* errekontzak errendimendu energetikoa hobetzea ahalbide-tzen du errekontzako produktuek tenperatura altuak dituztenean; produk-tuen tenperatura baxua denean, adibidez, etxeetako galdarak berotzen duen uraren kasuan, airearen aurreberotzea ahula da, eta efizientziaren hobekun-tza handirik ez da lortzen.

Beraz, *flameless* errekontzak industria aplikazioetan duen potentziala ikusita, simulazio eta esperimentu hauek egin dira soilik eskala handiko labeetan (begiratu 2. taula): Royal Institute of Technology (KHT) ins-titutuak 200 kW_{th}-ko labe erdi-industrial bat simulatu zuen (STAR-CD FDK programaren bitartez) [20]; International Flame Research Founda-tion (IFRF) izeneko fundazioak 1000 kW_{th}-kolabea aztertu zuen (ANSYS Fluent programaren bitartez) [21]; Mons-ko Unibertsitateak gas naturaleko 200 kW_{th}-ko labea ikertu zuen (ANSYS Fluent programa erabiliz) [22]; NKK altzairu korporazioak, Japonian, ANSYS Fluent FDK programa ere erabili zuen *flameless* errekontza hobeto ulertzeko [23], eta, bukatzeko, Delft University of Technology (DUT), erregailu anitzeko 300 kW_{th}-ko la-bea FDK bitartez aztertu zuen [24].

Aurreko lanen simulazioetan erabili zituzten turbulentzia-kimikako interakcio modeloak eredu matematiko simpletan oinarrituta daude; Eddy Dissipation (ED) modeloa, Finite Rate (FR) modeloa eta Eddy Break Up (EBU) modeloa. Halaber, mikro-nahasketan oinarritutako bi modelo erabili izan dira; Probability Density Function (PDF) eta Eddy Dissipation Con-

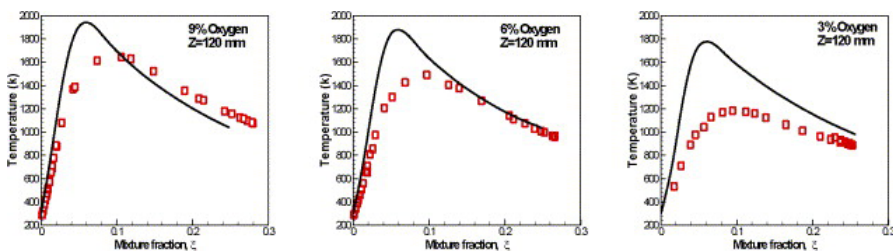
cept (EDC) modeloak. Aurreko lanen simulazio emaitzak datu experimentalen konparatzerakoan, kasu guztietan tenperatura gainestimatzen da. Hori gertatzen da, komentatutako modeloak simpleak izateaz aparte ohiko errekuntzarako garatuak izan direlako, hau da, *flameless* errekuntzako erreaktiboen diluzioa kontuan hartu barik.

2. taula. Simulazio numerikoak labe industrialetan. ARG.: Propioa.

Erref.	Turbulentzia modeloa	Mekanismo kimikoa	Turbulentzia-kimika interakzioa	Erradiazioa	Neurketa teknika
KHT	Estandar $k-\varepsilon$	2-urratsa	ED/FR	DTM	Intrusibo Elementua & Termoparea
IFRF	Estandar $k-\varepsilon$	2-urratsa	β -PDF oreka B-PDF flamelet, EBU	DO	Intrusibo Elementua & Termoparea LDA
MONS	Estandar $k-\varepsilon$	1-urratsa	β -PDF oreka, ED/FR	DO	Intrusibo Elementua & Termoparea CCD kamera OH neurtzeko
NKK	Estandar $k-\varepsilon$	15 espezie	β -PDF oreka	P1	Intrusibo Elementua & Termoparea
DUT	Realizable $k-\varepsilon$	16 espezie	EDC	DO + WSGGM	Intrusibo Elementua & Termoparea

Flameless errekuntza tamaina handiko labeetan aztertzea zaila eta konplexua da, alde batetik, datu esperimentalak izatea zaila delako, izaten diren tenperatura altuengatik eta, bestalde, FDKren ikuspuntutik denbora komputazional handia behar delako simulazioak egiteko.

Komentatutako zaitasunak aztertu ondoren, *flameless* errekuntza teknologiaren bideragarritasuna aztertzeko, ikertzialeak esperimentuak eginen ari dira laborategi tamainako labeetan, eta eskuraturiko datuen bitartez FDK simulazioak egiten ari dira. Horri esker jakin da ohiko errekuntzarako zehatzak diren turbulentzia-kimikako modeloak ahulak direla *flameless* errekuntzarako (adibide moduan begiratu 6. irudira). Beraz, erreaktiboen diluzioa kontuan hartzen duten turbulentzia-kimikako modeloak garatu behar dira.



6. irudia. Batez besteko tenperaturaren balioa O₂ kontzentrazio desberdineta-rako. Lerro beltza EDC modeloaren bitartez iragarritakoa eta lauki gorriak datu esperimentalen balioak. ARG. [25].

5. ONDORIOAK

Gaur egun klima-aldaketaren inguruan dagoen ardura kontuan izanda, energiaren kontsumoa murrizteko ahaleginak egiten ari dira. Bestalde, ondorioztatu da erregai fosilen errekuntza energiaren kontsumo primarioa dela, bai gaur egun, bai etorkizunean. Beraz, energiaren kontsumoa murriztea zaila denez, eta erregai fosilen kontsumoak indarrean jarraitzen duela ikusita, ikertzaileak errekuntza teknologia berriean lan egiten ari dira.

Flameless errekuntza teknologia interesgarria dela ondorioztatu da era-ginkortasun energetikoa hobetzeaz aparte, NO_x gasen emisioak murrizten dituelako. Beste abantaila batzuk ere baditu: gar egonkorra eta soinu-intensitatearen murrizketa.

Flameless errekuntza hobeto aztertzeko bide bat esperimentuak egitea da. Eskala handiko labeek neurketak egiteko erakusten dituzten zaitasunak kontuan izanda, laborategi tamainako esperimentuak dira ikerkuntza arloan egiten direnak. Adibide moduan, Delft University of Technology, Aachen-go Unibertsitatean eta Mons-ko Unibertsitatean erabiltzen dira 9, 5-10 eta 30 kW-eko erregailuak dituzten paralelepipedo itxurako labeak, hurrenez hurren.

Hala ere, *flameless* errekuntza-teknologia optimizatzeko, sistemaren barruan gertatzen diren fenomeno fisikoen ikuspegia sakonagoa beharrezkoa da. Esperimentuak egiteko behar den denbora eta kostu ekonomikoa kontuan izanda, *flameless* errekuntza hobeto ulertzeko beste irtenbide bat FDK da. Errekuntza-parametro aldakorrekin hainbat teknika probatzea ahalbidetzen du, askoz ere denbora-tarte laburragoan eta kostu baxuagoekin. Beraz, FDK *flameless* errekuntza aztertzeko oso tresna garrantzitsua izan daiteke. Hori dela eta, boladan dagoen *flameless* errekuntzaren ikerkuntza lerroa Fluidoen Dinamika Konputazionalean (FDK) oinarritzen da. FDKren bitartez atzeman daitezke errekuntzaren ondoriozko tenperatura banaketa eta

produktuen fluxua. Horri esker, labearen diseinua optimiza daiteke hura fabrikatu aurretik.

FDK programan dauden modeloekin ohiko errekuntzaren ezaugarriak zehaztasunez simula daitezke; bero transferentzia, jariakinen mekanika, erradiazio termikoa, erreakzio kimikoak eta turbulentzia-kimikako interakzioa, baina ez *flameless* errekuntza, erreaktiboen diluzioa kontuan hartzen ez delako. Hori dela eta, diluitutako erreaktiboa kontuan hartzen dituzten modelo matematikoen garapena beharrezkoa da, eta ildorretan daude abian ikerkuntzak. Ikerkuntzak, batez ere, Eddy Dissipation Concept (EDC) modeloaren hedapenean oinarritzen dira [26]. Hala ere, Flamelet Generation Manifold (FGM) modeloak eskaintzen duen denbora konputazional aurrezpena dela eta, modelo horren hedapenean ikerkuntzak abian daude *flameless* errekuntza FDK bitartez aztertzeko [27] [28].

Bukatzeko, *flameless* errekuntzaren abantailak kontuan izanda, teknologia hau jadanik aplikazio errealetan implementatua izan da; adibidez, GRC G2 erregailua [29] *flameless* errekuntzan oinarritutako erregailua da NO_x emisioak murritzeko.

BIBLIOGRAFIA

- [1] EIA. 2016. International energy outlook 2016. Retrieved from [https://www.eia.gov/outlooks/ieo/pdf/0484\(2016\).pdf](https://www.eia.gov/outlooks/ieo/pdf/0484(2016).pdf) (kontsulta: 2020ko urtarrila).
- [2] EIA. 2018. International energy outlook 2018. Retrieved from <https://www.eia.gov/outlooks/aoe/> (Kontsulta: 2020ko urtarrila)
- [3] Romero-Anton, N., Martin-Eskudero K., del-Portillo-Valdés, L. 2019. Europar Batasuneko Energia-Testuingurua. Eraginkortasun energetikoa Industrial. *Ekaia Zientzia eta Teknologia Aldizkaria*, **36**, 191-207.
- [4] Sawyer, R. F. 2009. Science based policy for addressing energy and environmental problems. *Processing on the Combustion Institute*, **32**, 45-56.
- [5] Baroutaji, A., Wilberforce, T., Ramadan, M., & Olabi, A. G. 2019. Comprehensive investigation on hydrogen and fuel cell technology in the aviation and aerospace sectors. *Renewable and Sustainable energy Reviews*, **106**, 31-40.
- [6] Shin, J., Hwang, W., & Choi, H. 2019. Can hydrogen fuel vehicles be a sustainable alternative on vehicle market?: Comparison of electric and hydrogen fuel cell vehicles. *Technological Forecasting and Social Change*, **143**, 239-248.
- [7] NREL. Renewable electrolysis. Retrieved from <https://www.nrel.gov/hydrogen/renewable-electrolysis.html> (Kontsulta: 2020ko urtarrila)
- [8] Favre, E. 2007. Carbon dioxide recovery from post-combustion processes: Can gas permeation membranes compete with absorption?. *Journal of Membrane Science*, **294**, 50-59.

- [9] Cormos, C. 2012. Integrated assessment of IGCC power generation technology with carbon capture and storage (CCS). *Energy*, **42**, 434-445.
- [10] Wall, T., Liu, Y., Spero, C., Elliott, L., Khare, S., Rathnam, R., Yu, J. 2009. An overview on oxyfuel coal combustion—State of the art research and technology development. *Chemical Engineering Research and Design*, **87**, 1003-1016.
- [11] Cherubini, F., Bird, N. D., Cowie, A., Jungmeier, G., Schlamadinger, B., & Woess-Gallasch, S. 2009. Energy- and greenhouse gas-based LCA of biofuel and bioenergy systems: Key issues, ranges and recommendations. *Resources, Conservation and Recycling*, **53**, 434-447.
- [12] Agarwal, A. K. 2007. Biofuels (alcohols and biodiesel) applications as fuels for internal combustion engines. *Progress in Energy and Combustion Science*, **33**, 233-271.
- [13] Romero-Anton, N., Martin-Eskudero, K., Portillo-Valdes, L.A., Gomez-Elvira, I., Salazar-Herran, E. 2018. Improvement of auxiliary BI-DRUM boiler operation by dynamic simulation. *Energy*, **148**, 676-686.
- [14] Tacina, Wey, Laing, & Mansour, A. 2002. A low NO(x) lean-direct injection, multipoint integrated module combustor concept for advanced aircraft gas turbines. *NASA/TM*, 211347.
- [15] Yao, M., Zheng, Z., & Liu, H. 2009. Progress and recent trends in homogeneous charge compression ignition (HCCI) engines. *Progress in Energy and Combustion Science*, **35**, 398-437.
- [16] Buhre, B. J. P., Elliott, L. K., Sheng, C. D., Gupta, R. P., & Wall, T. F. 2005. Oxy-fuel combustion technology for coal-fired power generation. *Progress in Energy and Combustion Science*, **31**, 283-307.
- [17] Wünning, J. A., & Wünning, J. G. 1997. Flameless oxidation to reduce thermal nox-formation. *Progress in Energy and Combustion Science*, **23**, 81-94.
- [18] Tsuji H., Gupta A. K., Hasegawa T., Katsuki M., Kishimoto K. Morita M. 2002. *High temperature air combustion: From energy conservation to pollution reduction*. New York: CRC Press.
- [19] Kumar, S., Paul, P. J., Mukunda, H. S. 2002. Studies on a new high-intensity low-emission burner. *Proceedings of the Combustion Institute*, **29**, 1131-1137.
- [20] Weihong, Y., Włodzimierz, B. 2006. CFD as applied to high temperature air combustion in industrial furnaces. *IFRF Combust J* **200603**.
- [21] Hekkens, R., Mancini, M. 2004. Non-isothermal CFD model of HEC burner and furnace. *Tech. Rep. G108/2*. IRFR Research Station,
- [22] Lupant, D., Pesenti, B., & Lybaert, P. 2004. Assessment of combustion models of a self-regenerative flameless oxidation burner. *Mons (Belgic), Faculté Polytechnique de Mons*, 1-7.
- [23] Ishii, T., Zhang, C., & Hino, Y. 2002. Numerical study of the performance of a regenerative furnace. *Heat Transfer Engineering*, **23**, 23-33.
- [24] Danon, B., Cho, E. de Jong, W., Roekaerts, D. J. E. M. 2011. Numerical investigation of burner positioning effects in a multi-burner flameless combustion furnace. *Applied Thermal Engineering*, **31**, 3885-3896.

- [25] Christo, F. C., Dally, B. B. 2005. Modeling turbulent reacting jets issuing into a hot and diluted coflow. *Combustion and Flame*, **142**, 117-129.
- [26] Romero-Anton, N., Huang, X., Bao, H., Martin-Eskudero, K., Salazar-Herran, E., & Roekaerts, D. 2020. New extended eddy dissipation concept model for flameless combustion in furnaces. *Combustion and Flame*, **220**, 49-62.
- [27] Romero, N., Martin, K., Salazar, E., del Portillo, L. A., Roekaerts, D. 2019. On the Implementation of Diluted-Air-FGM Turbulent Combustion Model in Ansys-Fluent. *11th Mediterranean Combustion Symposium*, Tenerife, Spain, 16-20 June.
- [28] Ren, M., Wang, S., Romero-Anton, N., Zhao, J., Zou, C. 2020. Numerical study of a turbulent co-axial non-premixed flame for methanol hydrothermal combustion: Comparison of the EDC and FGM models. *The Journal of Supercritical Fluids*, **166**, 105132.
- [29] Fives group. Retrieved from <https://combustion.fivesgroup.com/products/pillard-product-line/burners/gas-burners/pillard-lonoxflam-g2.html> (kon-tsulta: 2020ko abuztua).